

技術報告

UDC 620.192.45 : 669-147

連続鋳造鋼片の大型非金属介在物の生成原因*

白岩 俊男**・荒木 泰治***
 藤野 允克**・松野二三朗***

The Origin of Large Nonmetallic Inclusions in the Continuously
 Cast Steel Billets

Toshio SHIRAIWA, Taiji ARAKI,
 Nobukatsu FUJINO, and Fumio MATSUNO

Synopsis:

The origins of large nonmetallic inclusions in continuously cast plain carbon steel billets have been investigated in relation to the mould scums. Three kinds of synthetic scums containing tracer elements of La, Ce or Ca individually are added into the liquid plain carbon steel in the continuous casting mould poured by means of an open nozzle, and inclusions in the billets are analysed in electron probe microanalyser. The results obtained are as follows.

- 1) In the inclusions larger than about 150μ in diameter, tracer elements are observed, but none in those smaller than about 100μ in diameter.
- 2) The compositions of large inclusions are similar to those of mould scums.
- 3) From these results it is concluded that most of large inclusions originate from mould scums.

(Received Jan. 22, 1972)

1. 緒 言

普通鋳込を行なつた連続鋳造鋼片には大型介在物が多く認められるがこれについての報告は森ら¹⁾の報告があるだけで十分解明されてはいない。

湾曲型連続鋳造機で鋳込まれた $110 \text{ mm} \phi$ 鋳片では、大型介在物は上面側（曲率の小なる側）に集中して認められる。著者らはこれら大型非金属介在物の生成原因を確かめるべく、小倉製鉄所の6ストランド $110 \text{ mm} \phi$ 連続鋳造機²⁾での普通鋳込の際に非放射性のトレーサー元素（La, Ce および Ca）を含有せしめた合成スカムを鋳型内に添加し、鋳片中の介在物を EPMA で分析することによって鋳片中の非金属介在物と鋳型内スカムとの関係、とくに大型非金属介在物との関係を解析した。その結果、鋳型内スカムが大型非金属介在物の源となつてゐることを確かめたので報告する。

2. 実 験

2.1 $110 \text{ mm} \phi$ 連続鋳造鋼片中の大型介在物の調査

$0.4\% \text{C}$, Al 細粒鋼の鋳片について、鋳片中の大型介在物の分布組成の調査を行ない、大型介在物の実態を把握した。

2.2 合成スカムトレーサー実験

大型介在物の調査により、普通鋳込（オープンノズル、

オイルキャスティング）の場合に多く認められる大型介在物は、鋳型内スカムを起源としていることが予想されたので、鋳型内に合成スカムを添加して、介在物と鋳型内スカムとの関係を調べる実験を行なつた。

2.2.1 トレーサー元素を含む合成スカム

鋳込中に鋳型内に添加した合成スカムの組成を Table 1 に示す。合成スカムはトレーサー元素として La, Ce, Ca をそれぞれ含む 3 種類のマンガンシリケートであり、添加したトレーサー元素はいずれも非放射性である。合成スカムのベースをマンガンシリケートとしたのは、実験を行なつた鋼種の場合鋳型内で生成するスカムがマンガンシリケートであるためである。

合成スカムは試薬（いずれも JIS 1 級）を Table 1 に示した組成になるように秤量し、よく混合後 1250°C にて 1hr 空気中において焼結させ、その後再び粉碎混合することによつて作成した。これらの合成スカムについては別途溶融温度を測つたがいずれも 1300°C くらいであつた。

2.2.2 合成スカムの鋳型内添加

小倉製鉄所の $110 \text{ mm} \phi$ コンキャスト S 型連続鋳造機

* 昭和45年4月本会講演大会にて発表
 昭和47年1月22日受付

** 住友金属工業(株)中央研究所 理博

*** 住友金属工業(株)中央研究所

Table 1. Chemical compositions of added synthetic scums.

Synthetic Scum	MnO	SiO ₂	La ₂ O ₃	CeO ₂	CaO
A	54.0	36.0	10.0	—	—
B	54.0	36.0	—	10.0	—
C	45.9	39.1	—	—	15.0

で合成スカムの添加実験を行なつた。合成スカムの添加を行なつた際の铸造鋼種は機械構造用中炭素鋼 (C : 0.30, Si : 0.31, Mn : 0.86, S : 0.015, Al : 0.03) で、連々第2チャージ目の铸造開始 10 min 後から合成スカムの添加を開始した。合成スカム添加のタイムスケジュールを Fig. 1 に示すが第2チャージ目の铸造開始 10 min 後から合成スカムの添加を開始し、A, B, C の順にそれぞれ 10 min 添加、10 min 添加なしのくり返しで添加を行なつた。

合成スカムの添加 3 min 前および添加開始 5 min 後には、铸造型内に浮遊しているスカムを採取した。

合成スカムは添加するとすぐに溶融し、铸造型内には溶鋼から生成するスカムと合成スカムが融合して浮遊していることが観察された。しかし铸造時には絶えずスカムの除去を行なつてるので合成スカムの添加は小量ずつ絶えず行なうことにして、添加期間中に添加しない時期に比べ铸造型内スカムがあまり多くならないようにし、しかも合成スカムが常に铸造型内に存在するようにした。

铸造法はオープンノズル使用、オイルキャスティングの普通铸造であり、铸造速度は平均 2.3 m/min で添加実験中に大きな変動はなかつた。

铸造片には第2チャージ目の铸造開始とともに、一定時間ごとにマーキングを行なつた。供試材は 12.3 m の定尺に切断した端部から採取し、介在物を調査した。

2.2.3 铸型内スカムおよび介在物の調査

Fig. 1 に示したタイムスケジュールで採取した铸造型内スカムはミクロ観察、X線回折およびEPMA分析で調査した。また铸造片中の介在物については铸造片の断面を研磨し、ミクロ観察後 EPMA で介在物の組成分析を行なつた。

3. 実験結果

3.1 铸片中に認められる大型非金属介在物

110 mm φ 連続铸造片 (0.4% C, Al 細粒鋼) 中の大型非金属介在物を調査したところ、オープンノズルを使用しオイルキャスティングを行なつた普通铸造片の場合には、Fig. 2 に示すように铸造片の上面 (湾曲型連続铸造機の曲率の小なる側) から 10~25 mm 内部に肉眼で見える 200~400 μ φ の大型非金属介在物が集中していることが観察された。顕微鏡観察による介在物の観察でも普通铸造片の場合 100 μ φ をこすような大型のもの

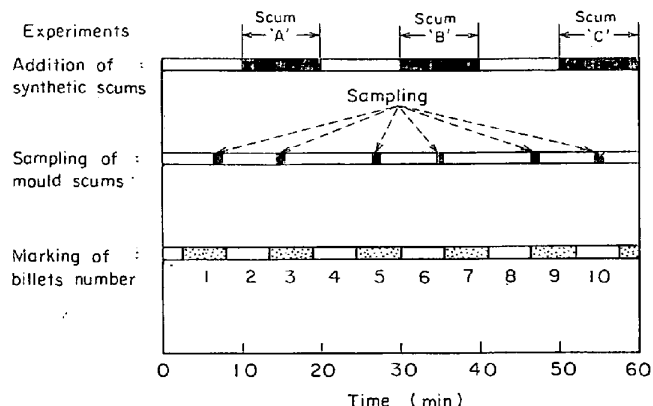


Fig. 1. Schematic illustration of schedule of experiment.

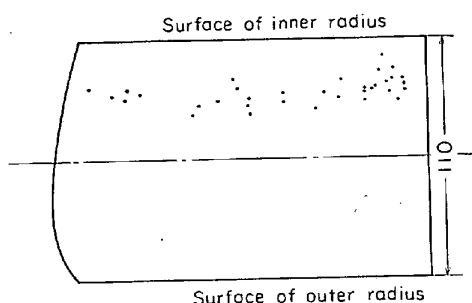


Fig. 2. Schematic illustration of the distribution of large inclusions in the billet (open nozzle, oil casting).

は铸造片の上面側半分だけに認められ、下面側半分の介在物は粒径の 1~5 μ クラスター状 Al₂O₃ であることが認められた。

大型非金属介在物の一例を Photo. 1 に示すが、普通铸造片中に認められる大型介在物はたいていの場合、ガラス質だからなるものかあるいはガラス中に晶出結晶を伴うかのいずれかである。

このような大型介在物が多数認められるのは普通铸造の場合に限られ、同一溶鋼をエクステンドノズルを用いて铸造した場合の介在物は粒径 1~5 μ の Al₂O₃ クラスターを主体とするものであり、大型介在物とは組成的に異なることなどから、大型介在物の源として、铸造型内のスカムの巻き込み、たたき込みが考えられた。

3.2 合成スカムトレーサー投入実験結果

3.2.1 铸型内スカム調査結果

合成スカム A の铸造型内添加前に採取した铸造型内スカムの EBS 像 (Electron Beam Scanning Image) を Photo. 2 に示す。Photo. 2 に示すように実験を行なつた中炭素鋼の普通铸造の際に生成する铸造型内スカムはマンガンシリケート中に若干の FeO, Al₂O₃, TiO₃ を含むものである。铸造型内スカムの採取は鉄棒の先端に付着させて铸造型から取り出されることによって行なわれているので急速に冷却されているためガラス質となつていて、Photo. 2 の EBS 像で丸く見える斑点は空洞である。

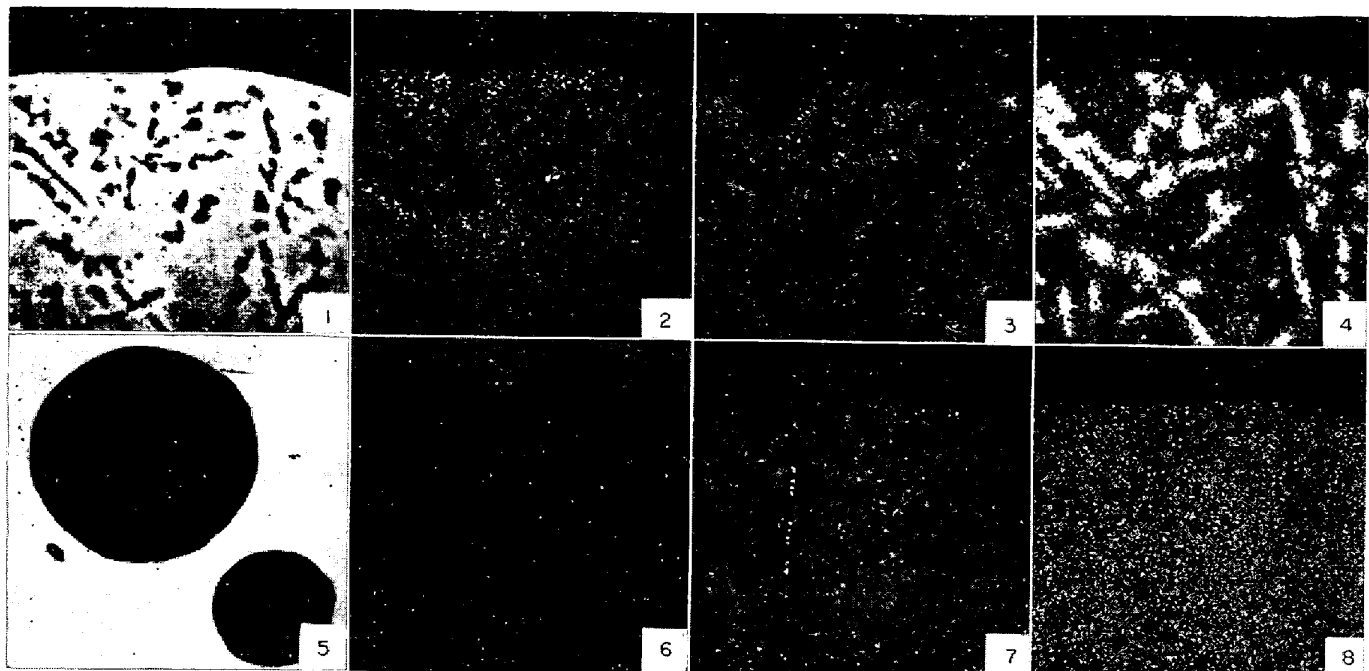
1 : SC ($\times 880$), 2 : Si, 3 : Al, 4 : Ti, 5 : optical ($\times 100$), 6 : Fe, 7 : Mn, 8 : O (5/9)

Photo. 1. Electron scanning images and optical micrograph of large inclusion in 110 mm ϕ Si killed steel billet. (Open nozzle and oil casting).

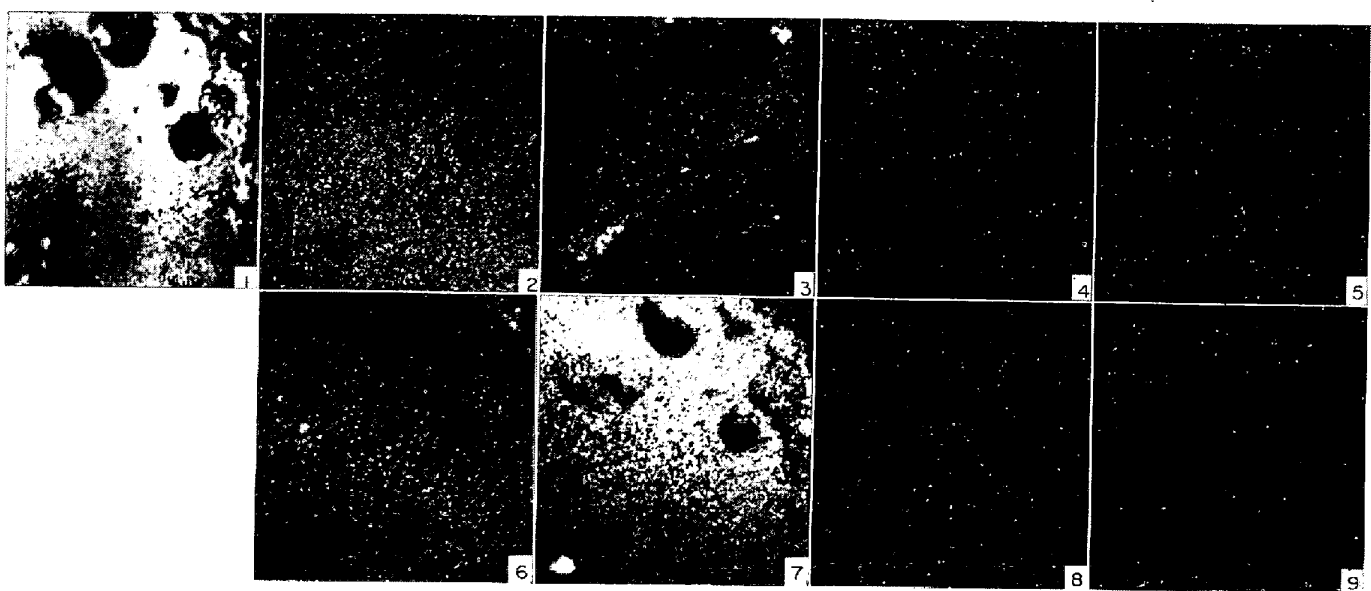
1 : BSE ($\times 220$), 2 : Mn, 3 : Al, 4 : La, 5 : Ca, 6 : Fe, 7 : Si, 8 : Ti, 9 : Ce (3/7)

Photo. 2. Electron scanning images of mould scum obtained before the addition of synthetic scum 'A'.

合成スカムの添加中に採取した鋳型内スカムのEBS像をPhoto. 3, 4, 5に示す。Photo. 3に示したのはLa入合成スカムの添加中に採取したものであり、Laが均一に分布したMn-Al-Fe-La-Si-Oである。

Photo. 4, 5はCeおよびCaをトレーサー元素として含有せしめた合成スカムの添加中に採取した鋳型内スカムのEBS像であるがMn-Al-Fe-Si-O中にCeおよびCaが均一に分散していることが明らかである。

以上のことから合成スカム添加中の鋳型内スカムにはトレーサー元素がほぼ均一に分散していることが明らかとなつたが、どの程度の濃度で入つているかを調べるためにCeをトレーサー元素として含む合成スカムCの添加時に採取した鋳型内スカムの定量分析をEPMAを行なつた。その結果をTable 2に示すがCeO₂は添加前の10%から8.0%になつてゐる。このことは合成スカムが自然に発生するスカムと融合しあつて濃度がうすめられていることを示している。

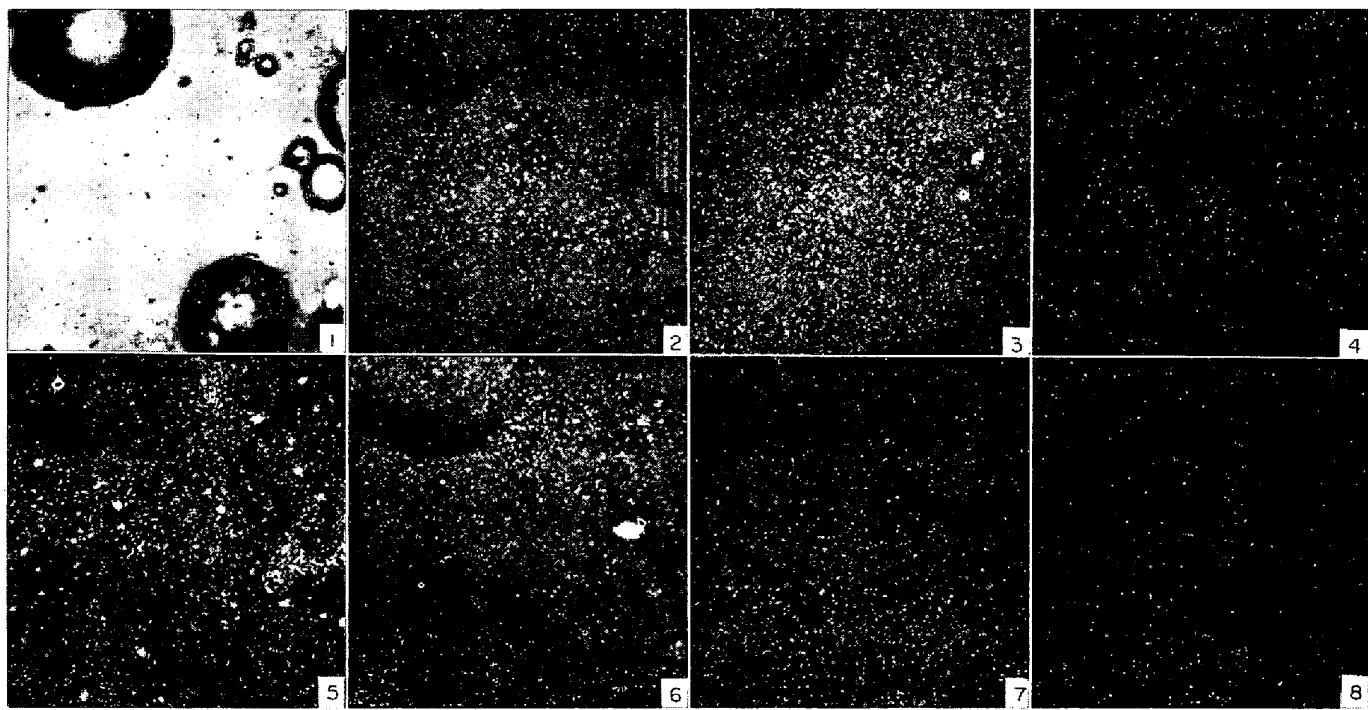
1 : SC ($\times 220$), 2 : Mn, 3 : Al, 4 : Ce, 5 : Fe, 6 : Si, 7 : La, 8 : Ca (5/9)

Photo. 3. Electron scanning images of mould scum obtained during the addition of synthetic scum 'A'.

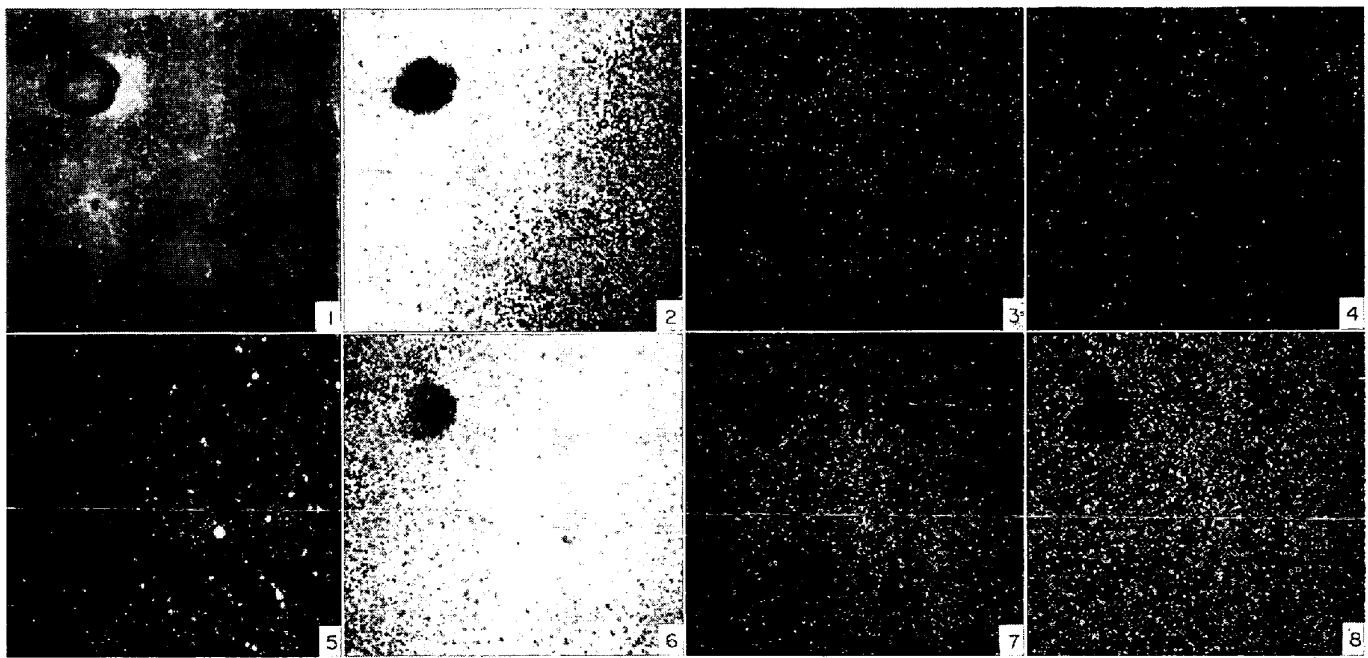
1 : SC ($\times 220$), 2 : Si, 3 : Ca, 4 : La, 5 : Fe, 6 : Mn, 7 : Al, 8 : Ce (5/9)

Photo. 4. Electron scanning images of mould scum obtained during the addition of synthetic scum 'B'.

Table 2. Results of quantitative analysis of mould scum obtained during the addition of synthetic scum B.

MnO	Al ₂ O ₃	SiO ₂	TiO ₂	FeO	CaO	CeO ₂
45·8	3·4	39·0	0·4	3·5	0·1	8·0

3.2.2 鋳片中の非金属介在物の調査結果

介在物の調査に供した鋳片は定尺に切断した端部から200 mmだけ切り出したものである。合成スカムの添加時期とビレット番号は Fig. 2 に示してあるが、これらの供試材について EPMA で介在物にトレーサー元素が含まれているか否かをひととおり調べた結果、ビレット No 3, 6, 10 にトレーサー元素である La, Ce, Ca を

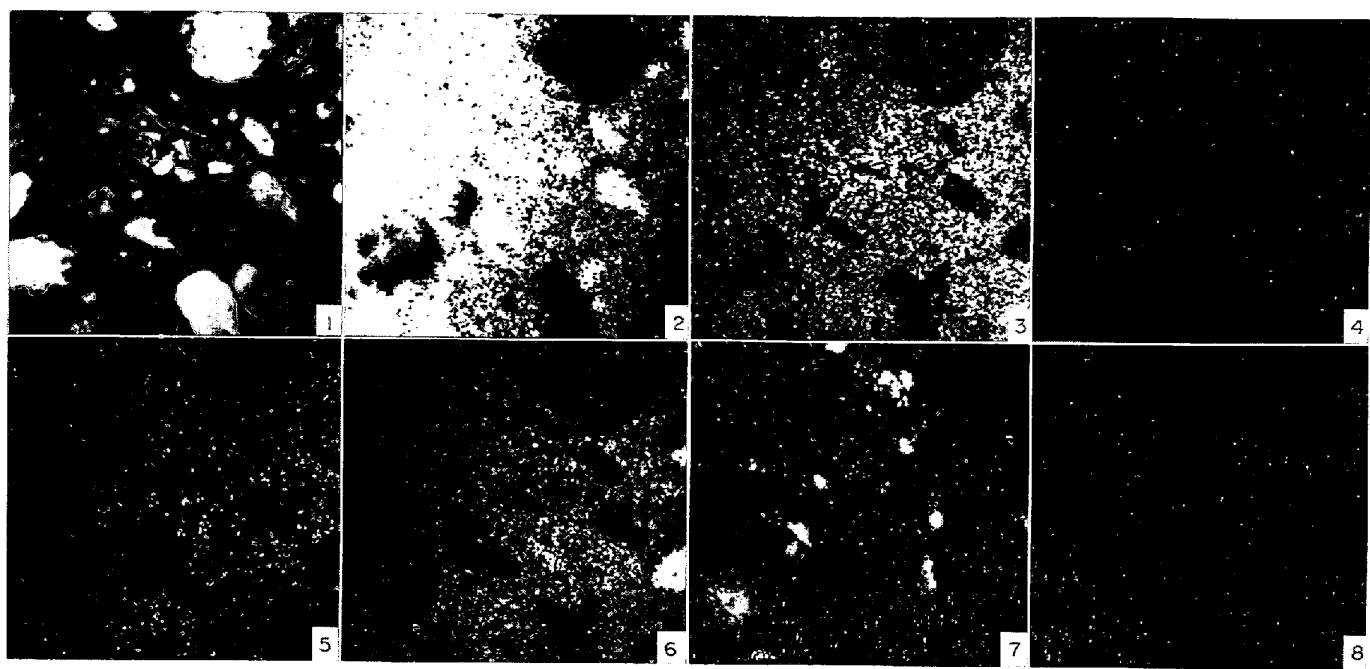
1 : SC ($\times 220$), 2 : Si, 3 : Ca, 4 : La, 5 : Fe, 6 : Mn, 7 : Al, 8 : Ce (5/9)

Photo. 5. Electron scanning images of mould scum obtained during the addition of synthetic scum 'C'.

Table 3. Results of qualitative analysis of inclusions by EPMA.

Added synthetic scum	Billet No	Diameter of inclusion (μ)	Composition of inclusion
A MnO : 54% SiO ₂ : 36 La ₂ O ₃ : 10	3	290 272 54 28 21	Mn-Al-Si-La-O + SiO ₂ Mn-Si-La-(Al)-O + SiO ₂ Al-Mn-Si-(Ti)-(Ca)-O-S Al-Mn-Si-(Ti)-(Ca)-O Al-Mn-Si-(Ti)-(Ca)-O
B MnO : 54 SiO ₂ : 36 CeO ₂ : 10	6	168 195 78 44 37 14	Mn-Si-Ce-(Ti)-O + SiO ₂ Mn-Si-Ce-(Al)-O + SiO ₂ Mn-Si-Al-(Ti)-O + SiO ₂ Al-Mn-Si-(Ca)-O-(S) Al-Mn-Si-(Ca)-O Al-Mn-Si-(Ca)-O
C MnO : 45.9 SiO ₂ : 39.1 CaO : 15.0	10	147 32 28 15	Mn-Si-Al-Ca-(Ti)-O + SiO ₂ Mn-Al-Si-(Ti)-O Mn-Al-Si-(Ca)-(Ti)-O Mn-Al-Si-(Ca)-Ti-O

() : Minor element

それぞれ含む介在物が見い出されたので、これらについて詳細に調査を行なうこととした。

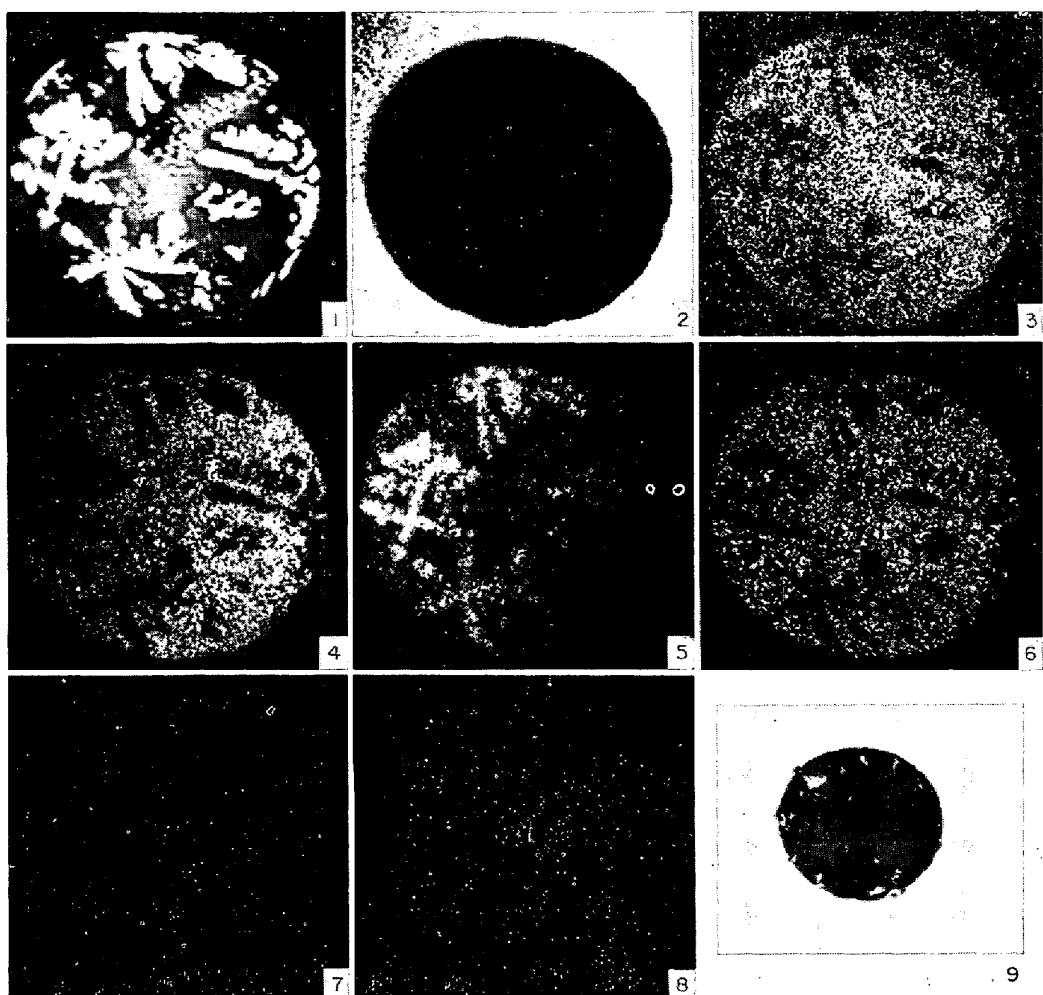
Table 3 に No 3, 6, 10 ビレット中の介在物の EPMA による分析結果を示す。この表からトレーサー元素の検出された介在物はいずれも大型介在物であることがわかる。

Photo. 6, 7, 8 に No 3, 6, 10 ビレット中の大型介在物の EBS 像を示す。Photo. 6 に示したのは No 3 ビレット中に存在する直径 290 μ の介在物であるが、トレーサー元素である La が介在物のガラス質中にはほぼ均一に入つていることが明らかである。Photo. 6 に示した介

在物は顕微鏡写真でも明らかなようにガラス質と結晶質とから成るが、EBS 像から結晶質は SiO₂ であり形態からクリストバライトと考えられる。ガラス質は Mn-La-Si-O で若干の Al を含んでいる。

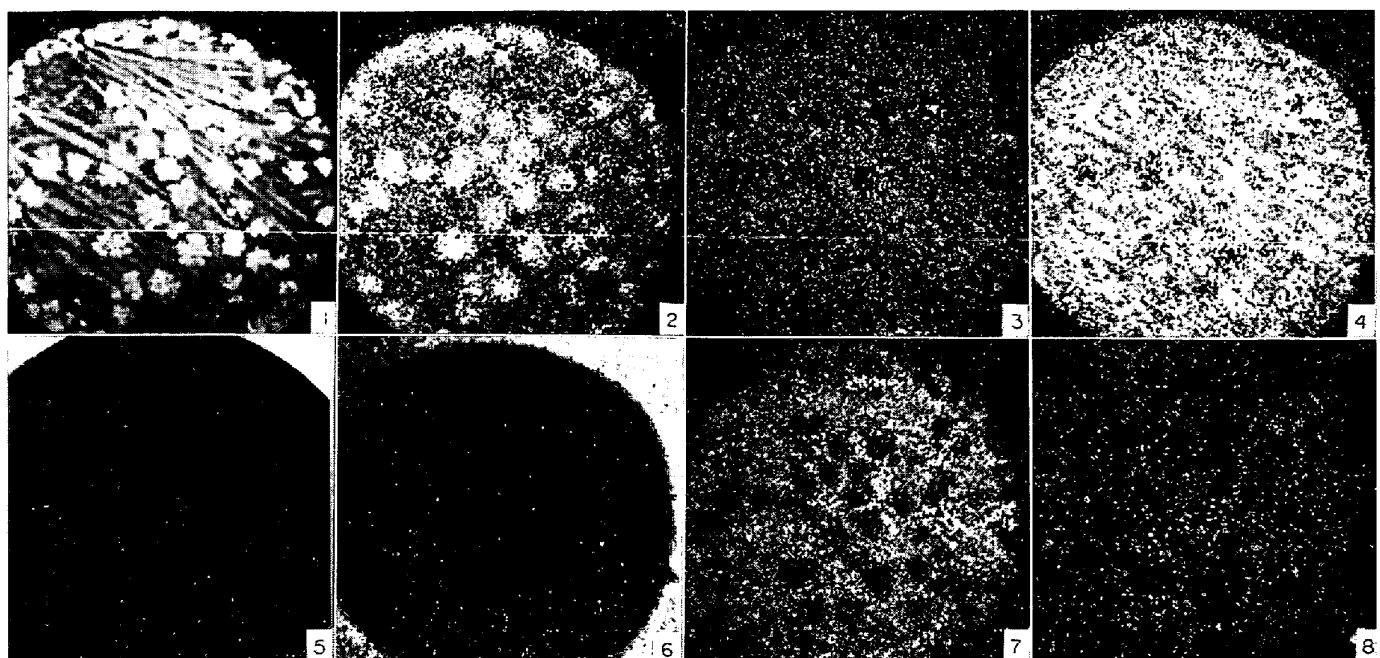
Photo. 7 に示したのは No 6 ビレット中に観察された直径 168 μ の大型介在物であるがこの介在物も結晶質とガラス質とから成る。結晶質は SiO₂ でクリストバライトと考えられる。ガラス質は若干の Al を含有した Mn-Ce-Si-O でありトレーサー元素の Ce がかなりの濃度で均一に分布していることが明らかである。

Photo. 8 に示したのは No 10 ビレット中に観察され



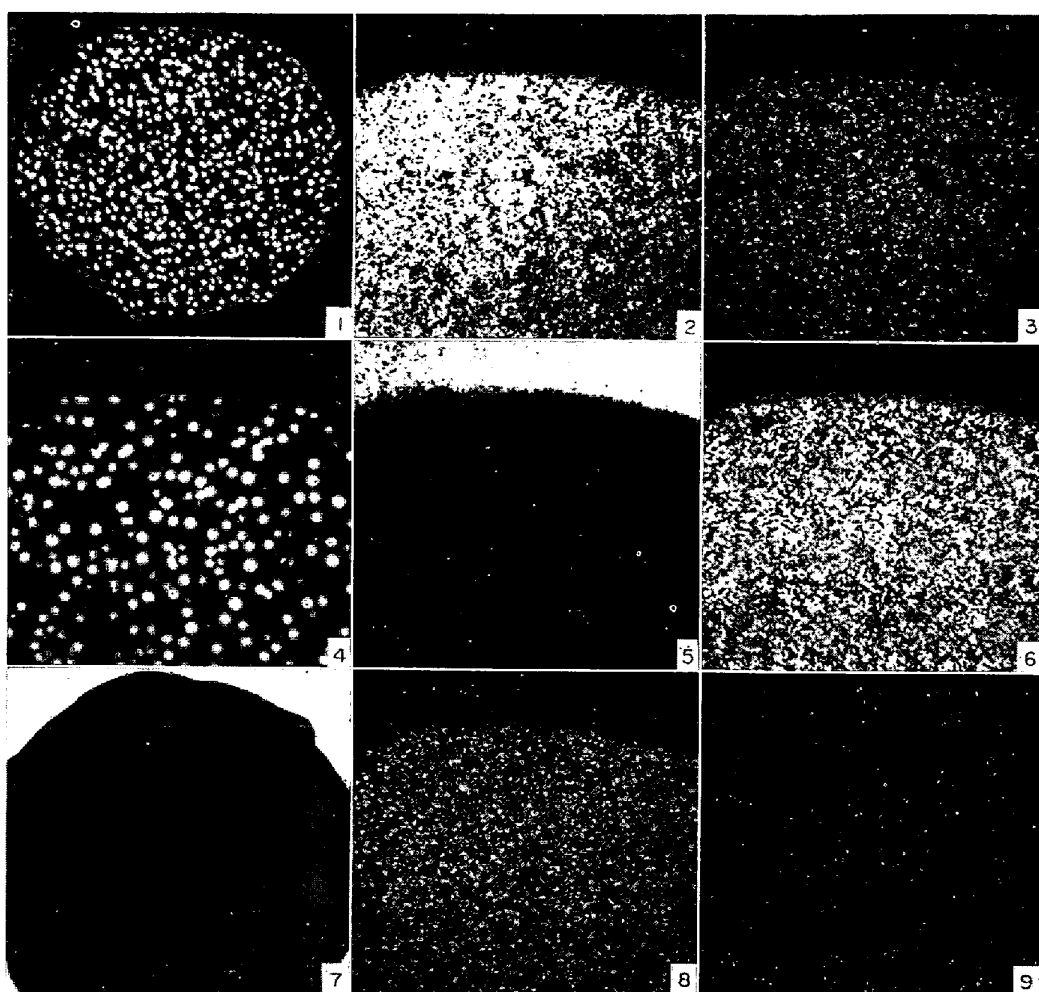
1 : SC ($\times 220$), 2 : Fe, 3 : Al, 4 : Mn, 5 : Si, 6 : La, 7 : Ca, 8 : Ti, 9 : optical ($\times 100$) (5/9)

Photo. 6. Electron scanning images and optical micrograph of large inclusion observed in the No 3. billet.



1 : SC ($\times 220$), 2 : Si, 3 : Al, 4 : Ce, 5 : optical ($\times 500$), 6 : Fe, 7 : Mn, 8 : Ti (5/9)

Photo. 7. Electron scanning images and optical micrograph of large inclusion observed in the No 6. billet.



1 : SC ($\times 220$), 2 : Si, 3 : Al, 4 : SC ($\times 880$), 5 : Fe, 6 : Mn, 7 : optical ($\times 500$), 8 : Ca, 9 : Ti (5/9)
 Photo. 8. Electron scanning images and optical micrograph of large inclusion observed in the No 10 billet.

た直径 147μ の介在物であるがこの介在物も小さな結晶質を伴つたガラス質からできている。この場合も結晶質は SiO_2 (クリストバライト) である。ガラス質は Mn-Ca-Al-Si-O でありトレーサー元素である Ca がかなりの濃度でほぼ均一に入っていることが認められる。

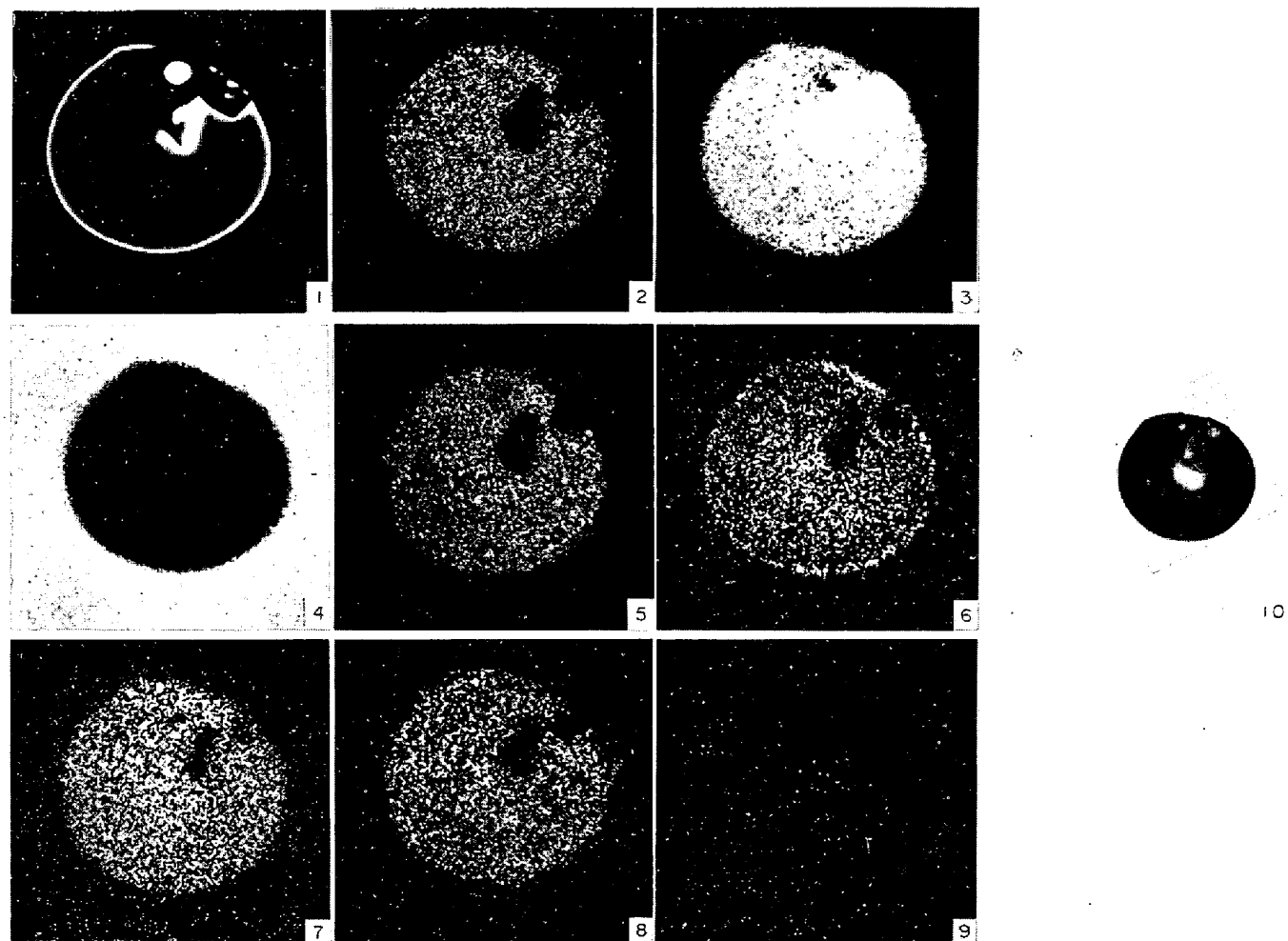
Table 3 に示した EPMA による分析結果からわかるように分析を行なつた直径 147μ 以上の大型介在物にはすべてトレーサー元素がガラス質部にほぼ均一に入っていることが観察された。鋳片中にはこのような大型介在物以外に直径が数十 μ あるいはそれ以下という非金属介在物が存在するわけであるが、これからはトレーサー元素は検出されなかつた。

大型介在物以外の介在物の分析例として Photo. 9, 10, 11 に No. 3, 6, 10 ビレット中に存在する介在物の EBS 像をそれぞれ示す。Photo. 9 に示したのは No. 3 ビレット中に存在する直径 54μ の介在物である。この介在物はガラス質と結晶質とから成り、結晶質は EBS 像から明らかなように Al_2O_3 である。ガラス質は Mn, Al, Ti, Ca, Si, O の硅酸塩質である。S の X 線像か

ら明らかなように介在物の周辺および介在物中には硫化物も共存していることが認められる。No. 3 ビレット中の大型介在物中には Photo. 6 に示すようにトレーサー元素である La が検出されたのであるが、この例に示すように小型介在物には La は検出されなかつた。

Photo. 10 に示した介在物は No. 6 ビレット中に観察された直径 37μ の介在物である。この介在物はガラス質であり Mn-Al-Si-O に Ca, Ti が若干固溶されたものである。No. 6 ビレットの大型介在物からは Photo. 7 に示すようにトレーサー元素である Ce が明りよう検出されたのに対し、この例のような小型介在物からはトレーサー元素である Ce は検出されなかつた。

Photo. 11 に示す介在物は No. 10 ビレット中に存在する直径 28μ の介在物である。この介在物はガラス質から成り、組成は Mn-Al-Ca-Ti-Si-O である。No. 10 ビレットの鋳込の際には Ca 入合成スカムを鋳型内に添加したのであるが大型介在物からは Ca が Photo. 8 に示すように Ca が明りよう検出されている。しかるに中、小型介在物にも Photo. 9~11 に示すように Ca が



I : SC ($\times 880$), 2 : Mn, 3 : Al, 4 : Fe, 5 : Si, 6 : S, 7 : Ti, 8 : Ca, 9 : La, 10 : optical ($\times 500$) (5/9)

Photo. 9. Electron scanning images and optical micrograph of small inclusion observed in the No 3 billet.

Table 4. Results of quantitative analysis of nonmetallic inclusions observed in the No 6 billet.

Size in diameter	MnO	Al_2O_3	SiO_2	FeO	TiO_2	CaO	CeO_2
195 μ	50·8	2·9	36·5	1·8	1·3	0·3	6·4
78 μ	58·0	6·4	31·1	0·8	2·7	0·2	—
37 μ	28·0	40·0	26·1	1·9	2·9	1·3	—

検出されている。Photo. 9, 10 の介在物は鋳型内に添加した合成スカムに Ca が入っている場合のものであり、この場合の Ca は明らかに合成スカムを起源とするものではなく、自然に入つてくるものである。Ca はこのようにその起源は明らかでないが自然に介在物に入る所以、La, Ce に比べるとトレーサー元素としては劣るが、自然に入つてくる Ca は CaO に換算して約 1% くらいであり、大型介在物の Ca 濃度とは明りように区別できるので実験上支障はなかつた。

No 6 ビレット中の大型介在物のガラス質部分および中、小型介在物のガラス質部の定量分析の結果を Table 4 に示す。大型介在物には CeO_2 が 6·4% 含まれてお

り Table 2 に示した鋳型内スカムの組成と比較すると両者の組成はよく類似していることがわかる。

また中、小型介在物中に含まれている Ca であるが CaO で約 1% くらいまでであることがわかつた。

4. 考 察

連続鋳造の場合、本研究の場合のような 110 mm ϕ 鋳片のような小断面積鋳片に大型非金属介在物が多いことは森ら¹⁾によつても指摘されているがその原因は連続鋳造という鋳込法が非金属介在物の浮上分離に対して不利な条件を備えていることにあると考えられる。連続鋳造の場合には鋼塊法と異なつて鋳片が下方に引き抜かれる

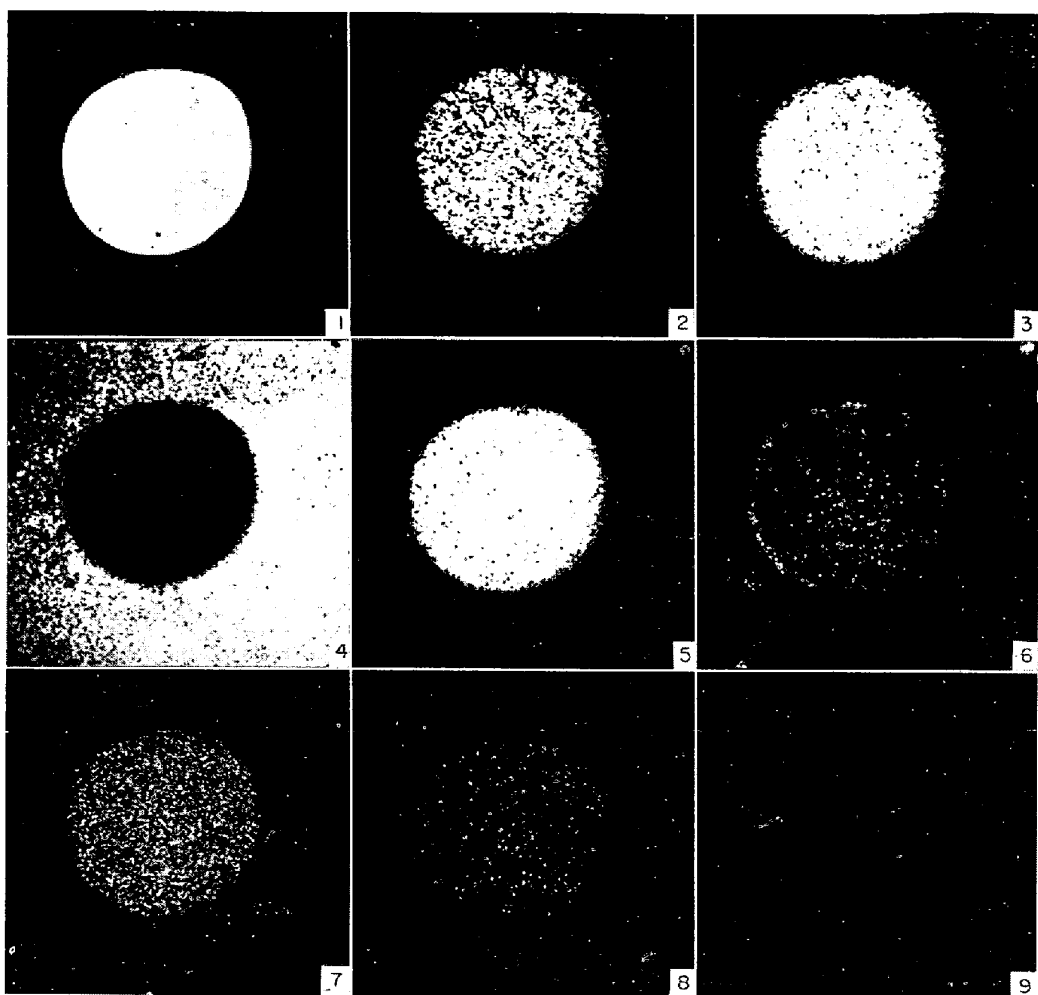


Photo. 10. Electron scanning images of small inclusion observed in the No. 6 billet.

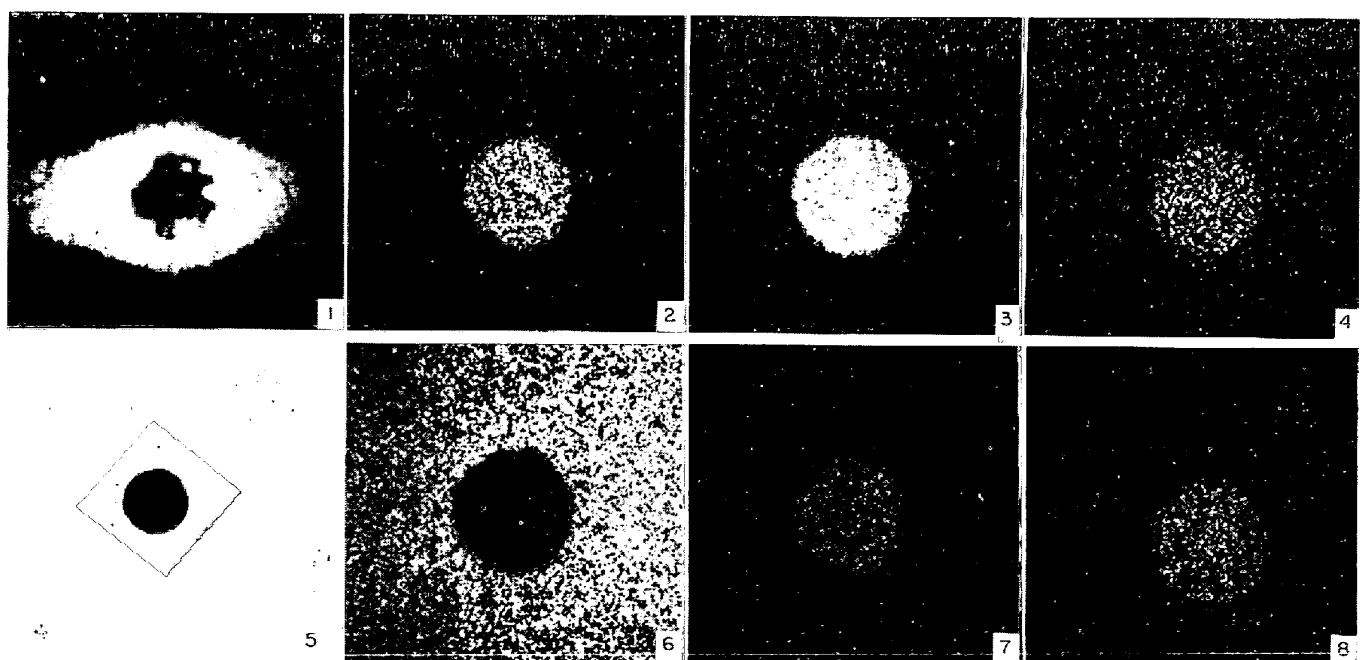


Photo. 11. Electron scanning images and optical micrograph of small inclusion observed in the No. 10 billet.

ために浮上速度が見かけ上小さくなること、鋼の凝固速度が鋼塊法に比べ速いことが介在物の浮上分離性を悪くしていることは容易に理解されることである。森ら¹⁾によればあらい近似としてストークスの法則で計算すると連続铸造の場合の浮上分離しうる介在物の直径は、引き抜き速度 4m/min の 80 mm φ 鋳片ではその限界サイズは 400 μ 以上となり引き抜き速度 1.5m/min の 160 mm φ 鋳片では 250 μ 以上である。

このように連続铸造の場合は引き抜かれながら凝固が進行するので介在物が鋼中にたまりやすいと考えられるのであるがつぎに問題となるのはその起源と生成過程である。鋼塊法の場合の大型介在物については多くの報告^{3)~12)}がなされており次第にその生成機構が明らかにされているが連続铸造の場合においては報告が少ない。

森ら¹⁾は大型介在物の生成過程として鋼の凝固中に生成する 2 次脱酸生成物の凝集肥大および溶鋼の空気酸化生成物とかスカムのたたき込みを考えており、小断面積鋳片の場合凝固中に凝集肥大したものは少なく、溶鋼の空気酸化生成物とかスカムのたたき込みの割合がより多いと推測している。

本実験の結果から、本実験の鋳込条件すなわちオープンノズル使用オイルキャスティングという条件下では少なくとも 150 μ をこえるような大型介在物の起源としては鋳型内スカムを考えるべきであり、しかも合成スカム添加時の鋳片中の大型介在物でトレーサー元素を含まないものは認められなかつたことから大型介在物のほとんどが鋳型内スカムを起源としていることが明らかとなつた。Table 2 と Table 4 とを比較すると大型介在物の組成は鋳型内スカムとよく類似していることがわかり、大型介在物は鋳型内スカムそのものである可能性が大である。

これらのことから普通鋳込の鋳片中の大型介在物は森ら¹⁾の推測していることに一致して鋳型内スカムのたたき込み、あるいは鋳型内溶鋼表面層の攪拌によるスカムの巻き込みによって溶鋼内に入り浮上分離が妨げられるために介在物となつたと考えられる。

これに対して直径が 100 μ 以下の介在物はトレーサー元素が検出されないこと、スカムと比較すると組成が異なることなどから鋳型内スカムとは無関係であると判断される。

大型介在物の分布は上面側に集中して認められるがこれは連続铸造機が湾曲型であることに原因すると考えられる。広本ら¹³⁾によつても湾曲型の連続铸造機の場合には上面から約 50 mm の位置に大型介在物が集中して存在することが報告されている。この原因は鋳込時に未凝固部分が曲げられるため介在物が上面側に浮上することによって上面側に集中するためと考えられる。また大型介在物が表面より約 10 mm 以上の位置から発生していることは凝固が約 10 mm 進行した場所（鋳型の出口付

近）で凝固面が下向きになり浮上してきた介在物が捕捉しやすい状態となつてゐるためと考えられる。

介在物の生成経路の研究にトレーサー元素を使用した研究には RI を使用した報告と¹⁴⁾¹⁵⁾か出鋼前スラグに非放射性の元素を添加した報告¹⁶⁾があるが、連続铸造においてはほとんど見当らない。本研究で行なつた合成スカム添加法は簡単に実施でき、しかも明りような結果が得られ、ほかにも応用できる有用な方法であると考えられる。

本実験法の問題点として自然に生成してくる鋳型内スカムの物性が合成スカムを添加したことによつて変化し、溶鋼中に入る挙動が異なつてくるのではないかということが懸念されるが、自然発生してくる鋳型内スカムも Mn-Si-O 系のものであり、合成スカムと MnO/SiO₂ 比はほとんど類似したものなので、このことについてはあまり考慮する必要がない。La₂O₃, CeO₂, CaO はスラグ中に均一に入つており、Table 2 に示した分析値でも 8.0% であるのでスラグの物性を大きく変えることはないと判断される。

3 種類の異なるトレーサー元素を含有せしめた合成スカムを添加して同様の結果が得られたということは、合成スカムを添加しなくとも鋳形内スカムが大型非金属介在物になつてゐるということが実際に起つてゐると考えられる。

5. 結 言

オープンノズル使用、オイルキャスティングを行なつた、110 mm φ 連続铸造鋳片中に認められる介在物とくに大型介在物と鋳型内スカムとの関係を明らかにする目的で、La, Ce, Ca をトレーサー元素として含有せしめた合成スカムを鋳込中に鋳型内に添加し、鋳片中の介在物を EPMA 分析するという合成スカムトレーサー実験を行なつた。

実験は小倉製鉄所のコンキャスト S 型連鉄機で行ない次のような結果を得た。

1) 合成スカム添加時の鋳片中に認められる直径 150 μ 以上の介在物からはトレーサー元素が検出されたが、100 μ 以下の介在物からはトレーサー元素は検出されなかつた。

2) 合成スカム添加時の鋳型内スカムと大型介在物の組成は類似しており大型介在物は鋳型内スカムそのものと判断された。

3) 以上のことから、普通鋳込みを行なつた場合の大型介在物は鋳型内スカムが落下溶鋼流によるたたき込みあるいは鋳型内溶鋼の攪拌による巻き込みなどによつて溶鋼中に入り、連続铸造の場合溶鋼が下方に引き抜かれること、凝固速度が速いことなど介在物の浮上分離性が悪いために鋼中に介在物としてトラップされたものと考えられる。

文 献

- 1) 森ほか: 鉄と鋼, 56(1970)14, p. 1824
- 2) 岡野ほか: 住友金属, 20(1968)2, p. 192
- 3) 中川: 鉄と鋼, 52(1966)10, p. 1678
- 4) 中川, 百瀬: " , 53(1963)13, p. 1477
- 5) 泉田: " , 53(1967)1, p. 11
- 6) 満尾ほか: " , 53(1967)11, p. 1210
- 7) " : " , 57(1971)3, p. 505
- 8) " : " , 57(1971)6, p. 915

- 9) P. H. SALMON, et al.: JISI, 201(1963)10, p. 863
- 10) A. KOHN, et al.: Rév. Metall., 62(1965)4, p. 311
- 11) 池田ほか: 鉄と鋼, 56(1970)6, p. 708
- 12) 浅野ほか: " , 54(1968)6, p. 643
- 13) 広本ほか: " , 57(1971)11, S 453
- 14) 宮川ほか: " , 54(1968), p. 872
- 15) 森ほか: " , 51(1965), p. 1930
- 16) 永山ほか: " , 56(1970)13, p. 1716